



کنترل فیدبک خروجی فازی تطبیقی برای کلاسی از سیستم‌های چند ورودی چند خروجی غیرخطی و غیرقطعی

رضا شهنازی^۱، ناصر پریز^۲، علی وحیدیان کامیاد^۳

^۱ استادیار، دانشکده برق و ریاتیک، گروه کنترل، دانشگاه صنعتی شاهرود، shahnazi@ieee.org

^۲ دانشیار، دانشکده مهندسی برق، گروه کنترل، دانشگاه فردوسی مشهد، n-pariz@um.ac.ir

^۳ استاد، دانشکده ریاضی، گروه ریاضی کاربردی، دانشگاه فردوسی مشهد، avkamyad@yahoo.com

(تاریخ دریافت مقاله ۱۳۸۸/۹/۹، تاریخ پذیرش مقاله ۱۳۸۸/۱۱/۱)

چکیده: در این مقاله یک کنترل فیدبک خروجی فازی تطبیقی تعییب کننده مدل برای کلاسی از سیستم‌های غیرخطی و غیرقطعی چند ورودی چند خروجی پیشنهاد شده است. توابع برداری غیرخطی نامعلوم، توسط سیستم‌های فازی براساس خاصیت تقریب گری عمومی تقریب زده می‌شوند، که در آنها قسمتهای مقدم و تالی قوانین فازی توسط روش‌های تطبیقی تنظیم می‌شوند. این امر اطلاعات اولیه و تعداد قوانین فازی برای طراحی سیستم‌های فازی را به طور موثر کاهش می‌دهد. در بسیاری از مسائل کاربردی حالت‌های سیستم تحت کنترل در دسترس نمی‌باشد، کنترل کننده پیشنهادی نیازی به حالت‌های سیستم نداشته و آنها را توسط یک رویت گر تخمين می‌زنند. برای مقابله با عدم قطعیت‌های ناشی از خطای تقریب فازی و اختشاش‌های خارجی از یک ساختار مقاوم با بهره تطبیقی استفاده می‌گردد که به دلیل تطبیقی بودن بهره، نه تنها نیازی به دانستن کران این عدم قطعیت‌ها نیست بلکه پدیده چتربنگ نیز به صورت کارآمد کاهش می‌باشد. تمامی قوانین تطبیقی از روش طراحی لیاپانوف استخراج می‌شوند، در نتیجه پایداری مجانبی سیستم حلقه بسته نیز تضمین می‌گردد. کنترل کننده پیشنهادی به سیستم آشوبی چن همراه با دینامیک غیرقطعی و همچنین اختشاش‌های خارجی اعمال می‌شود. تحلیل شبیه‌سازیها کارایی کنترل کننده پیشنهادی را در مقابله با عدم قطعیتها با تضمین پایداری مجانبی نشان می‌دهد.

کلمات کلیدی: کنترل غیرخطی، تقریب گر فازی، کنترل تطبیقی، عدم قطعیت، اختشاش‌های خارجی.

Observer-based Adaptive Fuzzy Control Scheme for a Class of MIMO Uncertain Nonlinear Systems

Reza Shahnazi, Naser Pariz, Ali Vahidian Kamyad

Abstract: An output feedback adaptive fuzzy model following controller is proposed for a class of MIMO nonlinear uncertain systems. The unknown nonlinear functions are approximated by fuzzy systems based on universal approximation theorem, where both the premise and the consequent parts of the fuzzy rules are tuned with adaptive schemes. Thus prior knowledge and the number of fuzzy rules for designing fuzzy systems are decreased effectively. In practical situations the states of the nonlinear systems are fully or partially not known, the proposed approach does not need the availability of the states and uses an observer to estimate the states. To cope with fuzzy approximation error and external disturbances an adaptive discontinuous structure is used to make the controller more robust, while due to adaptive mechanism attenuates chattering effectively. All the adaptive gains are derived via Lyapunov approach thus asymptotic stability of the closed-loop system is guaranteed. The approach is applied to stabilize the Chen's chaotic system with uncertain dynamics and amid significant disturbances. Analysis of simulations reveals the effectiveness of the proposed method in terms of coping well with the uncertainties while maintaining asymptotic convergence.

Keywords: Nonlinear control, Fuzzy approximator, Adaptive control, Uncertainty, External disturbances.

۱- مقدمه

کارهای انجام شده فوق برای سیستماتیک کردن کامل قوانین فازی با فرض در دسترس بودن کامل تمامی حالت های سیستم، بیان گردیده اند. همانطور که می دانیم فرض دانستن حالت ها در عمل یک فرض دور از واقعیت می باشد زیرا حالت ها یا قابل اندازه گیری نبوده و یا سنسورها و ترانسدیوسرها بسیار پرهزینه می باشند. بنابراین باید با طراحی یک رؤیت گر حالت ها را تخمین زد. در این صورت چون تمامی مشخصه های خطای در دسترس نمی باشند روش های مرسوم کنترل تطبیقی را نمی توان برای مسائل ریدیابی استفاده نمود. در این راستا و با طراحی رؤیت گرها کنترل کننده های فازی تطبیقی متنوعی ارائه شده اند که از جمله مهمترین آن ها می توان به [۱]-[۱۴] اشاره کرد. در [۱۱] لی و تانگ ترکیبی از روش های مستقیم و غیرمستقیم تطبیقی را برای یک کلاس از سیستم های غیرخطی در جهت ریدیابی مطلوب بدون نیاز به حالت ها را ارائه داده اند. در [۱۲] تانگ و همکاران یک کنترل کننده فازی تطبیقی بر اساس رؤیت گر برای کلاس مطرح شده در [۱۱] را پیشنهاد دادند که مشکل تکینی کنترل کننده های مرسوم را ندارد. هوا و همکاران در [۱۳] یک کنترل کننده فازی تطبیقی را برای یک کلاس از سیستم های آشوبی بدون علم قطعیت مدل کردن و با فرض لیپ شیتر بودن قسمت غیرخطی ارائه داده اند. شهنازی و خالوزاده در [۱۴] برای کلاس [۱۳] با وجود اختشاش کراندار یک کنترل کننده تطبیقی پیشنهاد داده اند که نیازی به دانستن کران اختشاش ندارد اما شرط لیپ شیتر برای قسمت غیرخطی باید وجود داشته باشد.

در این مقاله، یک کنترل کننده فازی کاملاً تطبیقی برای کلاسی از سیستم های چند ورودی چند خروجی غیرخطی و غیرقطعی در حضور اختشاش های خارجی ناگهانی و نامعلوم ارائه می گردد. سیستم های غیرخطی مورد بحث در این مقاله کلاس وسیعتری از سیستم های مطرح شده در [۱۴] را در بر می گیرند که شرط لیپ شیتر را برای قسمتهای غیرخطی نیاز ندارند. کنترل کننده باید به گونه ای طراحی شود که سیستم تحت کنترل حالت های یک سیستم مطلوب را ریدیابی نماید. کنترل پیشنهادی حالت های سیستم تحت کنترل را نیاز ندارد و آنها را توسط یک رؤیت گر تخمین می زند. توابع نامعلوم مدل توسط سیستم های فازی بر اساس قضیه تقریب گری عمومی به گونه ای که هم قسمت مقدم و هم قسمت تالی قوانین فازی تطبیق گردنده تقریب زده می شوند. بنابراین نیاز طراح به داشتن دانش نسبت به مدل و همچنین قوانین فازی کاهش می یابند. برای افزایش قوام از یک ساختار ناپیوسته تطبیقی استفاده می گردد، که به دلیل تطبیقی بودن باعث کاهش

کنترل سیستم های غیرخطی و غیرقطعی در طول دهه های گذشته در دو بعد تئوری و کاربردی مورد تحقیق و توسعه قرار گرفته و هنوز از مسائل چالش برانگیز و مهم دنیای کنترل می باشد. زیرا به دلیل حضور عدم قطعیت ها و تغییرات در پارامترها که در سیستم های واقعی و کاربردی اجتناب ناپذیر است روش های مرسوم کنترلی مانند خطی سازی فیدبکی پاسخگو نمی باشند [۱]-[۲].

بنابراین با ترکیب کننده های مقاوم، تطبیقی و منطق فازی روش هایی جهت طراحی کنترل کننده برای سیستم های غیرخطی با درجه بالای غیرخطیگری و عدم قطعیت ارائه گردید. در کنترل کننده های فازی تطبیقی ارائه شده [۲]-[۷]، بردار مراکز توابع تعلق خروجی قوانین فازی به عنوان پارامتر آزاد در نظر گرفته شده و وسط یک قانون تطبیق، تخمین زده می شوند. در حالی که توابع تعلق ورودی، باید با تشخیص طراح انتخاب شوند. این مسئله معمولاً باعث افزایش تعداد قواعد فازی گردیده و مانع از ایجاد یک کنترل کننده فازی تطبیقی کاملاً سیستماتیک می گردد. در [۸]-[۱۰] بر اساس بسط تیلور توابع پایه ای فازی روش هایی برای تعیین سیستماتیک توابع تعلق ورودی ارائه گردید. برای اولین بار هان و همکاران [۸] یک کنترل فازی تطبیقی مد لغزشی ارائه داده اند که پارامترهای توابع تعلق ورودی و خروجی مدل لغزشی برای کنترل یک سرو موتور به گونه ای ارائه داده اند که هم پارامترهای توابع تعلق ورودی و هم خروجی به وسیله قواعد تطبیقی که از یک تابع لیپانوف استخراج می گردند، تخمین زده می شوند. ولی در روش آن ها پایداری مجذبی تضمین نشده و منجر به خطای حالت دائمی می گردد. اخیراً، لین و هسو [۹] یک روش نوین طراحی کنترل فازی تطبیقی مد لغزشی برای کنترل یک سرو موتور به گونه ای ارائه داده اند که هم پارامترهای توابع تعلق ورودی و هم خروجی به وسیله قواعد تطبیقی که از یک تابع لیپانوف استخراج می گردند، تخمین زده می شوند و نیازی به تعیین آن ها توسط طراح نیست و همچنین به بهای داشتن کنترل ناپیوسته دارای پایداری مجذبی است. ولی روش آن ها فقط برای یک سیستم سرو موتور خاص قابل اجرا می باشد. شهنازی و همکاران [۱۰] یک روش کنترل نوین فازی تطبیقی مستقیم مد لغزشی را برای کلاسی از سروموتورهای با جریان مستقیم و القایی ارائه داده اند که هم پارامترهای توابع تعلق ورودی و هم خروجی به وسیله قواعد تطبیقی که از یک تابع لیپانوف استخراج می گردند، تخمین زده می شوند و در آن از یک کنترل کننده تناسبی-انتگرالی تطبیقی برای افزایش قوام که پایداری مجذبی را نیز تضمین می کند استفاده شده است.

فرض کنید $x_d = [x_{d1}, \dots, x_{dn}]^T$ حالت های کراندار مطلوب (به عبارت دیگر عدد مثبت $b_d > 0$ وجود دارد به گونه ای که $\|x_d\| \leq b_d$)، $e = x - x_d = [e_1, \dots, e_n]^T$ خطای رديابی و $\hat{x} \in \mathbb{R}^n$ تخمین حالت ها باشند. قرار می دهیم $\hat{e} = e - \hat{e}$. $\hat{e} = \hat{x} - x_d$, $\hat{y} = [\hat{y}_1, \dots, \hat{y}_p]^T = C\hat{x}$ هدف کنترلی عبارتست از تمامی سینکال ها کراندار بوده و $\lim_{t \rightarrow \infty} e(t) = 0$ باشد.

۲-۲- شبکه های تابع پایه ای فازی

یک سیستم فازی در اصل یک نگاشت از $V \subset \mathbb{R}$ به $U = U_1 \times U_2 \times \dots \times U_n \subset \mathbb{R}^n$ می باشد [۱۵]-[۱۷]. هر سیستم فازی از یک فازی ساز، پایگاه قواعد فازی، موتور استنتاج فازی و غیر فازی ساز تشکیل شده است. پایگاه قواعد فازی شامل مجموعه ای از قوانین اگر-آنگاه فازی به صورت زیر می باشد:

$$R^{(l)} : \text{IF } x_1 \text{ is } F_1^l \text{ and } \dots \text{ and } x_n \text{ is } F_n^l \text{ THEN } y \text{ is } G^l, \quad l = 1, \dots, M \quad (5)$$

که $y \in V$ و $X = [x_1, x_2, \dots, x_n]^T \in U$ خروجی سیستم فازی می باشد. F_i^l و G^l مجموعه های فازی در U و V بوده و $l = 1, \dots, M$ تعداد قواعد اگر-آنگاه فازی در مجموعه استنتاج فازی بر اساس ترکیب قواعد اگر-آنگاه فازی در مجموعه پایگاه فازی در اصل نگاشتی از مجموعه های فازی ساز در اصل U به مجموعه های فازی در V می باشد. همچنین یک فازی ساز در اصل $X = [x_1, x_2, \dots, x_n]^T \in U$ نگاشتی از یک بردار اعداد حقیقی به یک مجموعه فازی A در U بوده و غیر فازی ساز نگاشتی از یک مجموعه فازی B در V به یک عدد حقیقی y در V است. سیستم های فازی با پایگاه قوانین فازی (۵)، موتور استنتاج فازی ضربی (استلزم مدعانی و $t-norm$)، فازی ساز منفرد و غیر فازی ساز میانگین مرکز جرم را در نظر بگیرید. می توان نشان داد خروجی چنین سیستم فازی به صورت زیر می باشد:

$$\xi^T(x)W y = \frac{\sum_{l=1}^M W_l \left(\prod_{i=1}^n \mu_{F_i^l}(x_i) \right)}{\sum_{l=1}^M \left(\prod_{i=1}^n \mu_{F_i^l}(x_i) \right)} = \quad (6)$$

که در آن $W = [W_1, W_2, \dots, W_M]^T \in \mathbb{R}^M$ بردار مراکز تابع تعلق خروجی، F_i^l و G^l مجموعه های فازی متناظر با تابع تعلق $(\mu_{F_i^l}(x_i))$ و (y) بوده و $\xi(x) = [\xi_1(x), \xi_2(x), \dots, \xi_M(x)]^T \in \mathbb{R}^M$ بردار تابع پایه ای فازی به صورت زیر می باشد:

$$\xi_l(X) = \frac{\prod_{i=1}^n \mu_{F_i^l}(x_i)}{\sum_{i=1}^M \left(\prod_{i=1}^n \mu_{F_i^l}(x_i) \right)}, \quad l = 1, \dots, M \quad (7)$$

از آنجایی که در این مقاله هدف استفاده از سیستم های فازی برای تقریب تابع مورد نیاز می باشد، غیر فازی ساز را به صورت مجموع

چنینیگر به صورت مؤثر می گردد. در مورد اغتشاش های خارجی کنترل کننده پیشنهادی فقط فرض وجود یک کران برای اغتشاش را لازم دارد در حالی که دانستن مقدار این کران ضرورتی ندارد. این مقاله از این پس به صورت زیر ساختار بنده شده است: در قسمت ۲ به تعریف مسئله، بیان مفروضات و توصیف شبکه های تابع پایه ای فازی و قضیه تقریب گری عمومی می پردازیم. کنترل کننده پیشنهادی در قسمت ۳ ارائه گردیده و تحلیل پایداری مجانی آن در قسمت ۴ مورد بررسی قرار گرفته است. برای نشان دادن کارایی کنترل کننده پیشنهادی در قسمت ۵ آن را به سیستم آشوبی چن همراه با عدم قطعیت و اغتشاش های نامعلوم و ناگهانی اعمال می کنیم. در نهایت قسمت ۶ به نتیجه گیری و پیشنهادات می پردازیم.

۲- تعریف مسئله، شبکه های تابع پایه ای فازی

۲-۱- تعریف مسئله

کلاس سیستم های غیرخطی و غیر قطعی چند ورودی چند خروجی زیر را در نظر بگیرید،

$$\dot{x}(t) = (A + \Delta A(t))x(t) + B(f(x) + u + d(t, x)), \quad (1)$$

که $f(x) = [f_1(x), \dots, f_m(x)]^T$ بردار تابع غیرخطی و نامعلوم، $x = [x_1, x_2, \dots, x_n]^T \in \mathbb{R}^n$ حالت های سیستم، $y = [y_1, \dots, y_m]^T \in \mathbb{R}^m$ و $u = [u_1, \dots, u_m]^T \in \mathbb{R}^m$ به y ترتیب بردار ورودی و خروجی می باشد. C و B ماتریس هایی با بعد مناسب هستند. $\Delta A(t)$ عدم قطعیت مربوط به تغییرات پارامتری بوده که شرایط سازگاری را برآورده می سازد. به عبارت دیگر تابع پیوسته کراندار $E_A(t)$ چنان وجود دارد که $\Delta A(t) = BE_A(t)$ و $d(t, x) = [d_1(t, x), \dots, d_m(t, x)]^T$ اغتشاش کراندار با کران نامعلوم است. مفروضات زیر را در نظر می گیریم:

فرض ۱. ماتریس L و ماتریس های مثبت معین P_1 و Q_1 چنان

وجود دارند که:

$$P_1(A - LC) + (A - LC)^T P_1 = -Q_1 \quad (2)$$

$$B^T P_1 = C \quad (3)$$

از معادلات (۲) و (۳) مشخص می شود که ماتریس تبدیل $(A - LC, B, C)$ یک سیستم اکیداً حقیقی مثبت (SPR) را توصیف می کند.

فرض ۲. ماتریس K و ماتریس های مثبت معین P_2 و Q_2 چنان وجود دارند که:

$$P_2(A - BK) + (A - BK)^T P_2 = -Q_2 \quad (4)$$

از معادله (۴) می توان نتیجه گرفت که (A, B) کنترل پذیر است.

۳- قانون کنترل پیشنهادی

با توجه به شرط سازگاری برای $\Delta A(t)$ ، سیستم غیرخطی (۱) را می توان به صورت زیر نوشت:

$$\dot{x}(t) = Ax(t) + Bf(x) + BE_A(t)x(t) + Bu + Bd(t, x) \quad (11)$$

$$y = Cx.$$

$$\begin{aligned} \text{با نامگذاری } \bar{d}(t, x) &= E_A(t)x(t) + d(t, x) \text{ داریم:} \\ \dot{x}(t) &= Ax(t) + B(f(x) + u + \bar{d}(t, x)) \end{aligned} \quad (12)$$

فرض ۳. در این اینجا فرض می شود که شبکه های تابع پایه ای فازی مانند معادله (۴) توانایی تقریب گری عمومی را در مجموعه فشرده U دارا می باشند، که U به اندازه کافی بزرگ بوده به گونه ای که حالت های سیستم از آن خارج نشوند.

از تعریف مسئله، به دلیل کراندار بودن توابع برداری $E_A(t)$ و $d(t, x)$ و بر اساس فرض ۳، می توان نتیجه گرفت که تابع برداری $\bar{d}(t, x)$ کراندار می باشد، به عبارت دیگر عدد مثبت نامعلوم وجود دارد به طوریکه $\|\bar{d}(t, x)\| \leq \bar{D}$. از آنجایی که تابع برداری $f(x)$ نامعلوم است برای تخمین آن از m شبکه تابع پایه ای فازی با پارامترهای آزاد \hat{W} ، $\hat{\omega}$ و \hat{c} به صورت زیر استفاده می کنیم:

$$\begin{aligned} \hat{f}(x, \hat{W}, \hat{\omega}, \hat{c}) &= \left[\hat{f}_1(x, \hat{W}_1, \hat{\omega}_1, \hat{c}_1), \dots, \hat{f}_m(x, \hat{W}_m, \hat{\omega}_m, \hat{c}_m) \right] \\ &= \Phi(x, \hat{\omega}, \hat{c})\hat{W} \end{aligned} \quad (13)$$

که در آن

$$\hat{W} = [\hat{W}_1^T, \dots, \hat{W}_m^T]^T \quad (14)$$

$$\Phi(x, \hat{\omega}, \hat{c}) = diag[\xi_1^T(x, \hat{\omega}_1, \hat{c}_1), \dots, \xi_m^T(x, \hat{\omega}_m, \hat{c}_m)]$$

$$\hat{\omega}_i^T = [\hat{\omega}_{i1}^T, \dots, \hat{\omega}_{iM}^T]^T, \hat{\omega} = [\hat{\omega}_1^T, \dots, \hat{\omega}_m^T]^T, \hat{W}_i^T = [\hat{W}_{i1}, \dots, \hat{W}_{iM}]$$

$\hat{c}_i^T = [\hat{c}_{i1}^T, \dots, \hat{c}_{iM}^T]^T$ ، $\hat{c} = [\hat{c}_1^T, \dots, \hat{c}_m^T]^T$ ، $\hat{\omega}_u = [\hat{\omega}_1^u, \dots, \hat{\omega}_m^u]^T$ توابع گوسی بوده و M تعداد قوانین فازی بر اساس (۵) برای هر مولفه $f(x)$ می باشند. فرض می کنیم که حالت های مطلوب از مدل مرجع زیر حاصل گردند:

$$\dot{x}_d = A_d x_d + B_d r \quad (15)$$

که در آن، x_d حالت های مطلوب، $r \in \mathbb{R}^{m \times 1}$ سیگنال فرمان و کراندار و A_d ، B_d ماتریس های معلوم با بعد مناسب می باشند. ماتریس های A_m ، B_m ، G و R باید به گونه ای انتخاب شوند که

$$\begin{aligned} A_m - A &= B(G - K) \\ B_m &= BR \end{aligned} \quad (16)$$

به عبارت دیگر باید ستون های ماتریس های $(A - BK)$ و $B_m - (A - BK)$ ترکیب خطی از ستون های ماتریس B باشند. از طرفی اگر

وزنی خروجی هر قانون در نظر می گیریم. بنابراین (۶) را به صورت زیر می توان نوشت [۱۵]-[۱۷]:

$$\xi_l(X) = \prod_{i=1}^n \mu_{F_i}(x_i), \quad l = 1, \dots, M \quad (8)$$

در این حالت شکل توابع تعلق ورودی را به صورت توابع گوسی به صورت زیر انتخاب می کنیم:

$$\mu_{F_i}(x_i) = e^{-\omega_i^2(x_i - c_i)^2}$$

که در آن c_i و ω_i به ترتیب مرکز و معکوس پراکنده گی توابع تعلق گوسی هستند. بنابراین ساختار این سیستم فازی (با غیر فازی در بالا) را می توان به صورت ساختار یک شبکه با سه لایه به فرم شکل ۱ نمایش داد. به این ساختار شبکه تابع پایه ای فازی می گویند. بنابراین خروجی شبکه تابع پایه ای فازی نشان داده شده در شکل ۱ به صورت زیر می باشد:

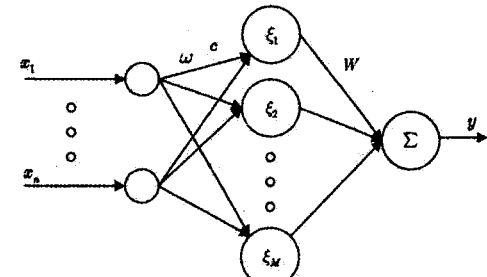
$$y(X, c, \omega, W) = \xi^T(X, c, \omega)W \quad (9)$$

$$c = [c_1^T, c_2^T, \dots, c_M^T]^T \in \mathbb{R}^{nM}, \quad X = [x_1, x_2, \dots, x_n]^T \in \mathbb{R}^n$$

$$\omega = [\omega_1^T, \omega_2^T, \dots, \omega_M^T]^T \in \mathbb{R}^{nM}, \quad c_l = [c_l^1, c_l^2, \dots, c_l^n]^T \in \mathbb{R}^n$$

$$W = [W_1, W_2, \dots, W_M]^T, \quad \omega_l = [\omega_l^1, \omega_l^2, \dots, \omega_l^n]^T \in \mathbb{R}^n$$

$$\xi_i = e^{-\sum_{i=1}^n \omega_i^2(x_i - c_i)^2} \quad \text{که} \quad \xi(X, c, \omega) = [\xi_1, \xi_2, \dots, \xi_n]^T$$



شکل ۱: شبکه تابع پایه ای فازی

قضیه اثبات شده زیر را در نظر می گیریم [۱۵]-[۱۷]:

قضیه ۱. (تقریب گری عمومی شبکه های تابع پایه ای فازی). برای هر تابع حقیقی پیوسته داده شده $(X)g$ تعریف شده بر $U \subset \mathbb{R}^n$ با U یک مجموعه فشرده و برای هر $\epsilon > 0$ دلخواه یک شبکه تابع پایه ای فازی $f^*(X) = \xi^T(X, c^*, \omega^*)W^*$ به صورت (۹) وجود دارد به نحوی که

$$\sup_{X \in U} |f^*(X) - g(X)| < \epsilon \quad (10)$$

بدین معنی که شبکه های تابع پایه ای فازی به صورت (۹) خاصیت تقریب گری عمومی دارند و می توانند هر تابع غیرخطی پیوسته را با هر میزان دقت تقریب بزنند.

بنابراین با استفاده از (۱۹) و با تعريف
 $\varepsilon_i = (\omega_i^T \Lambda_i^T + c_i^T \Omega_i^T) \tilde{W}_i + (e^T \Gamma_i^T + h_i^T) W_i^* + \Delta_i$ را
 می‌توان به صورت زیر نوشت:

$$\begin{aligned} f_i(x) &= \hat{f}_i(\hat{x}, \hat{W}_i, \hat{\omega}_i, \hat{c}_i) \\ &= (\hat{\xi}_i^T - \hat{\omega}_i^T \Lambda_i^T - \hat{c}_i^T \Omega_i^T) \tilde{W}_i \\ &\quad + (\hat{\omega}_i^T \Lambda_i^T + \hat{c}_i^T \Omega_i^T) \hat{W}_i + \varepsilon_i \end{aligned} \quad (۲۳)$$

از آنجایی که در (۲۳) هر جمله اسکالر است می‌توان آن را به صورت
 زیر نوشت:

$$\begin{aligned} f_i(x) &- \hat{f}_i(\hat{x}, \hat{W}_i, \hat{\omega}_i, \hat{c}_i) \\ &= \hat{\xi}_i^T \tilde{W}_i - \hat{\omega}_i^T \Lambda_i^T \tilde{W}_i - \hat{c}_i^T \Omega_i^T \tilde{W}_i \\ &\quad + \hat{W}_i^T \Lambda_i \hat{\omega}_i + \hat{W}_i^T \Omega_i \hat{c}_i + \varepsilon_i \end{aligned} \quad (۲۴)$$

بنابراین

$$\begin{aligned} f(x) &- \hat{f}(\hat{x}, \hat{W}, \hat{\omega}, \hat{c}) \\ &= (\Phi(\hat{x}, \hat{\omega}, \hat{c}) - \Theta_1) \tilde{W} + \Theta_2 \tilde{\omega} + \Theta_3 \tilde{c} + \varepsilon \end{aligned} \quad (۲۵)$$

$\Theta_1 = diag[\hat{\omega}_1^T \Lambda_1^T + \hat{c}_1^T \Omega_1^T, \dots, \hat{\omega}_m^T \Lambda_m^T + \hat{c}_m^T \Omega_m^T]$ که در آن $\tilde{\omega} = \omega^* - \hat{\omega}$ و $\tilde{c} = c^* - \hat{c}$ ، $\tilde{W} = W^* - \hat{W}$ و $\varepsilon = [\varepsilon_1, \dots, \varepsilon_m]^T$. برای تخمین حالت‌ها از رویت گر زیر استفاده می‌کنیم:

$$\begin{aligned} \dot{x}(t) &= (A - BK)\hat{x}(t) + BGx_d \\ &\quad + BRr + LC\tilde{e}, \end{aligned} \quad (۲۶)$$

که در آن $\hat{x} \in U_{\hat{x}}$ تخمین x که $U_{\hat{x}} \subset U_x$ و L ماتریسی است که فرض ۱ را ارضاء نماید. با کم کردن (۲۶) از (۱۵) و استفاده از

$$\dot{\hat{e}} = \dot{\hat{x}} - \dot{x}_d \quad (۱۶)$$

$$= (A - BK)\hat{x} + BGx_d - A_m x_d + LC\tilde{e}.$$

با اضافه و کم کردن جمله $(A - BK)x_d$ به معادله بالا و استفاده از (۱۶) داریم:

$$\begin{aligned} \dot{\hat{e}} &= (A - BK)\hat{e} \\ &\quad + \{(A - A_m) + B(G - K)\}x_d + LC\tilde{e} \quad (۲۷) \\ &= (A - BK)\hat{e} + LC\tilde{e}. \end{aligned}$$

قانون کنترلی زیر را پیشنهاد می‌کنیم:

$$\begin{aligned} u &= -K\hat{x} - \hat{f}(\hat{x}, \hat{W}, \hat{\omega}, \hat{c}) \\ &\quad + Gx_d + Rr - u_c - u_a, \end{aligned} \quad (۲۸)$$

که در آن u_c ساختار کنترل ریاست به فرم زیر می‌باشد:
 $u_c = [u_{c1}, \dots, u_{cm}]^T$

ستون‌های ماتریس‌های B و B_m مستقل خطی باشند که در عمل به علت عدم وجود ورودی تکراری بدیهی است، می‌توان ماتریس‌های G و R را به صورت زیر بدست آورد:

$$\begin{aligned} G &= (B^T B)^{-1} B^T (A_m - (A - BK)) \\ &= (B_m^T B)^{-1} B_m^T (A_m - (A - BK)) \end{aligned} \quad (۱۷)$$

$$R = (B^T B)^{-1} B^T B_m = (B_m^T B)^{-1} B_m^T B_m,$$

از طرفی حالت‌های سیستم (۱) در دسترس نبوده و مافقط قادر به اندازه گیری خروجی هستیم. بنابراین به جای $\hat{f}(x, \hat{W}, \hat{\omega}, \hat{c})$ از $\hat{f}(\hat{x}, \hat{W}, \hat{\omega}, \hat{c})$ استفاده می‌کنیم که $\hat{f}(\hat{x}, \hat{W}, \hat{\omega}, \hat{c})$ همان سیستم فازی (۱۳) با تبدیل x به \hat{x} می‌باشد. برای تخمین حالت‌ها از یک رویت گر که در (۲۶) معرفی می‌شود استفاده می‌گردد. برای هر مولفه $f(x)$ می‌توان نوشت:

$$\begin{aligned} f_i(x) &- \hat{f}_i(\hat{x}, \hat{W}_i, \hat{\omega}_i, \hat{c}_i) \\ &= f_i(x, W_i^*, \omega_i^*, c_i^*) - \hat{f}_i(\hat{x}, \hat{W}_i, \hat{\omega}_i, \hat{c}_i) + \Delta_i \\ &= \xi_i^T(x, \omega_i^*, c_i^*) W_i^* - \xi_i^T(\hat{x}, \hat{\omega}_i, \hat{c}_i) \hat{W}_i + \Delta_i \\ &\quad \text{که } \Delta_i \text{ خطای تخمین سیستم فازی می‌باشد. برای سادگی فرض می‌کنیم } \xi_i^T(x, \omega_i^*, c_i^*) = \hat{\xi}_i^T(\hat{x}, \hat{\omega}_i, \hat{c}_i) = \hat{\xi}_i^T \text{ حال با تعريف } \hat{\xi}_i^T = \xi_i^* - \hat{\xi}_i^* \text{ و } \tilde{W}_i = W_i^* - \hat{W}_i \\ &f_i(x) - \hat{f}_i(\hat{x}, \hat{W}_i, \hat{\omega}_i, \hat{c}_i) \\ &= (\tilde{\xi}_i + \hat{\xi}_i)^T(\tilde{W}_i + \hat{W}_i) - \hat{\xi}_i^T \hat{W}_i + \Delta_i \\ &= \tilde{\xi}_i^T \hat{W}_i + \hat{\xi}_i^T \tilde{W}_i + \hat{\xi}_i^T \hat{W}_i + \Delta_i \end{aligned} \quad (۱۸)$$

اگر بردار توابع تعلق گوسی بر اساس سری تیلور خطی شوند، آنگاه $\tilde{\xi}_i$ را می‌توان به صورت زیر نوشت:

$$\begin{aligned} \tilde{\xi}_i &= \begin{bmatrix} \tilde{\xi}_{i1} \\ \tilde{\xi}_{i2} \\ \vdots \\ \tilde{\xi}_{iM} \end{bmatrix} = \begin{bmatrix} \frac{\partial \xi_{i1}^*}{\partial \omega_i} \\ \frac{\partial \xi_{i2}^*}{\partial \omega_i} \\ \vdots \\ \frac{\partial \xi_{iM}^*}{\partial \omega_i} \end{bmatrix} \tilde{\omega}_i + \begin{bmatrix} \frac{\partial \xi_{i1}^*}{\partial c_i} \\ \frac{\partial \xi_{i2}^*}{\partial c_i} \\ \vdots \\ \frac{\partial \xi_{iM}^*}{\partial c_i} \end{bmatrix} \tilde{c}_i + \begin{bmatrix} \frac{\partial \xi_{i1}^*}{\partial x} \\ \frac{\partial \xi_{i2}^*}{\partial x} \\ \vdots \\ \frac{\partial \xi_{iM}^*}{\partial x} \end{bmatrix} \tilde{x} + \Delta_i \\ &= \Lambda_i \tilde{\omega}_i + \Omega_i \tilde{c}_i + \Gamma_i \tilde{e} + h_i \end{aligned} \quad (۱۹)$$

که در آن $\tilde{\omega}_i = \omega_i^* - \hat{\omega}_i$ ، $\tilde{c}_i = c_i^* - \hat{c}_i$ و $\tilde{x} = x^* - \hat{x}$ جملات مرتبه بالا را نشان می‌دهند. همچنین:

$$\frac{\partial \xi_u^*}{\partial \omega_i} = \begin{bmatrix} 0 & \dots & 0 & \frac{\partial \xi_{i1}^*}{\partial \omega_i} & \frac{\partial \xi_{i2}^*}{\partial \omega_i} & \dots & \frac{\partial \xi_{iM}^*}{\partial \omega_i} & 0 & \dots & 0 \end{bmatrix}_{(N-1) \times n} \quad (۲۰)$$

$$\frac{\partial \xi_u^*}{\partial c_i} = \begin{bmatrix} 0 & \dots & 0 & \frac{\partial \xi_{i1}^*}{\partial c_i} & \frac{\partial \xi_{i2}^*}{\partial c_i} & \dots & \frac{\partial \xi_{iM}^*}{\partial c_i} & 0 & \dots & 0 \end{bmatrix}_{(N-1) \times n} \quad (۲۱)$$

$$\frac{\partial \xi_u^*}{\partial x} = \begin{bmatrix} \frac{\partial \xi_{i1}^*}{\partial x} & \frac{\partial \xi_{i2}^*}{\partial x} & \dots & \frac{\partial \xi_{iM}^*}{\partial x} \end{bmatrix}_{(N-1) \times n} \quad (۲۲)$$

$$\begin{aligned} \|\hat{e}_i\| &\leq m_{\omega_i}, \|\hat{\omega}_i\| \leq m_{\omega_i}, \|\hat{W}_i\| \leq m_{W_i} \\ \|\tilde{\omega}_i\| &\leq 2m_{\omega_i}, \|\tilde{W}_i\| \leq 2m_{W_i}, |\hat{R}_i| \leq m_{R_i} \\ |\tilde{R}_i| &\leq 2m_{R_i} \quad \text{و } |\tilde{c}_i| \leq 2m_{c_i} \\ \end{aligned}$$

آنگاه مجنین

البات. ضمیمه الف را ملاحظه کنید.

حال از (۱۹) و لم ۱ داریم:

$$\begin{aligned} \|h_i^T + \tilde{e}^T \Gamma_i^T\| &= \|\tilde{\xi}_i^T - \tilde{\omega}_i^T \Lambda_i^T - \tilde{c}_i^T \Omega_i^T\| \\ &\leq \|\tilde{\xi}_i^T\| + \|\tilde{\omega}_i^T\| \|\Lambda_i^T\| + \|\tilde{c}_i^T\| \|\Omega_i^T\| \\ &\leq \ell_1 + \ell_2 \|\tilde{\omega}_i\| + \ell_3 \|\tilde{c}_i\| \\ &\leq \ell_1 + 2\ell_2 m_{\omega_i} + 2\ell_3 m_{c_i} \\ &= \ell_4, \end{aligned} \quad (۳۸)$$

که در بالا ℓ_1, ℓ_2 و ℓ_3 ثابت مثبت بوده و وجود آن‌ها به علت کراندار بودن توابع پایه ای فازی یعنی کراندار بودن توابع گوسی و فرض ۴ تضمین می‌شود. مجنین ℓ_4 نیز یک عدد مثبت بوده و نامساوی آخر با استفاده از لم ۱ نوشته شده است. با استفاده از (۲۳)، لم ۱ و قضیه ۱ داریم:

$$\begin{aligned} |\varepsilon_i| &= |(\omega_i^T \Lambda_i^T + c_i^T \Omega_i^T) \tilde{W}_i + (\tilde{e}^T \Gamma_i^T + h_i^T) W_i^* + \Delta_i| \\ &\leq \|\omega_i^T\| \|\Lambda_i^T\| \|\tilde{W}_i\| + \|c_i^T\| \|\Omega_i^T\| \|\tilde{W}_i\| + \|W_i^*\| \ell_4 + |\Delta_i| \\ &\leq \ell_2 \|\omega_i^T\| \|\tilde{W}_i\| + \ell_3 \|c_i^T\| \|\tilde{W}_i\| + \|W_i^*\| \ell_4 + b_{\Delta_i} \\ &\leq 2\ell_2 m_{\omega_i} m_{W_i} + 2\ell_3 m_{c_i} m_{W_i} + \ell_4 m_{W_i} + b_{\Delta_i} \\ &\triangleq b_{\varepsilon_i}, \end{aligned} \quad (۳۹)$$

که در آن b_{Δ_i} و b_{ε_i} اعداد مثبت نامشخص می‌باشند.

۳- تحلیل پایداری

در اینجا برای تحلیل پایداری مجذوبی قضیه زیر را بیان و اثبات می‌کنیم:

قضیه ۲. سیستم غیرخطی (۱) با مفروضات ۱ تا ۶ و قانون کنترلی (۲۸) را در نظر بگیرید. تمامی سیگنال‌ها در سیستم حلقه بسته کراندار بوده و خطای ردیابی به صورت مجذوبی صفر می‌گردد اگر قوانین تطبیق (۲۳)-(۲۶) برآورده شوند.

البات. ضمیمه ب را ملاحظه کنید.

ملاحظه ۱. لازم به ذکر است که در کنترل کننده فازی پیشنهادی پایداری از نوع نیمه-فراگیر است. زیرا همانطور که در قضیه ۱ بیان شد، سیستم‌های فازی توانایی تقریب گری عمومی توابع پیوسته با دامنه مجموعه فشرده معلوم U را دارا می‌باشند. بنابراین نتایج پایداری بیان شده تا زمانی که حالت‌های سیستم در U باشد معتبر است. در مقالات برای تضمین باقی ماندن حالت‌های سیستم در U برای تمام $t \geq 0$ ، معمولاً مجموعه U به حد کافی بزرگ اختیار می‌شود. اما

به طوریکه

$$u_{ci} = \operatorname{sgn}(y_i - \hat{y}_i) \hat{R}_i \quad (۴۰)$$

که $\hat{R}_i \in \mathbb{R}$ یک عدد ثابت مثبت نامشخص می‌باشد و باید به صورت مناسب تنظیم شود، و

$$u_c = L^T P_2 \hat{e}. \quad (۴۱)$$

دینامیک خطای رویت گر با استفاده از (۱۲)، (۲۵) و (۲۶) به صورت زیر می‌تواند نوشته شود:

$$\begin{aligned} \dot{\tilde{e}} &= \dot{e} - \hat{e} \\ &= (A - LC)\tilde{e} + B(\Phi(\hat{x}, \hat{\omega}, \hat{c}) - \Theta_1)\tilde{W} + B\Theta_2\tilde{\omega} \\ &\quad + B\Theta_3\tilde{c} + B\bar{d}(t, x) - Bu_c - Bu_a + Be \end{aligned} \quad (۴۲)$$

فرض ۳. مجموعه‌های فشرده وجود دارند به طوریکه بردارهای

پارامتر ایده‌آل W_i^* ، ω_i^* و c_i^* متعلق به آنها هستند، یعنی:

$$U_{W_i} = \{W_i \in \mathbb{R}^M \mid \|W_i\| \leq m_{W_i}\}, \quad U_{\omega_i} = \{\omega_i \in \mathbb{R}^{nM} \mid \|\omega_i\| \leq m_{\omega_i}\}$$

$$U_c = \{c_i \in \mathbb{R}^{nM} \mid \|c_i\| \leq m_c\}, \quad U_R = \{R_i \in \mathbb{R} \mid |R_i| \leq m_{R_i}\},$$

که شاعع‌های m_{W_i} و m_{ω_i} اعداد حقیقی مثبت می‌باشند که توسط طراح مشخص می‌شوند. مجنین

$$(W_i^*, \omega_i^*, c_i^*) = \arg \min_{W_i \in U_{W_i}, \omega_i \in U_{\omega_i}, c_i \in U_c} \left[\sup_{x \in U_x, t \in U_t} \left| f_i(x) - \hat{f}_i(\hat{x}, \hat{W}_i, \hat{\omega}_i, \hat{c}_i) \right| \right],$$

$$\hat{R}_i^* = R_i$$

و \hat{R}_i^* یک عدد مثبت نامشخص می‌باشد که در (۳۹) تعریف می‌گردد. لم زیر قوانین تطبیق را بیان می‌کند:

لم ۱. قوانین تطبیق زیر را در نظر بگیرید.

$$\hat{W}_i = \begin{cases} \gamma_{ii}(\tilde{\xi}_i^T - \tilde{\omega}_i^T \Lambda_i^T - \tilde{c}_i^T \Omega_i^T)^T(y_i - \hat{y}_i), \|\hat{W}_i\| < m_{W_i} \text{ or } (\|\hat{W}_i\| = m_{W_i} \\ \text{and } (\tilde{\xi}_i^T - \tilde{\omega}_i^T \Lambda_i^T - \tilde{c}_i^T \Omega_i^T)\hat{W}_i(y_i - \hat{y}_i) \leq 0) \\ \Pr(\gamma_{ii}(\tilde{\xi}_i^T - \tilde{\omega}_i^T \Lambda_i^T - \tilde{c}_i^T \Omega_i^T)^T(y_i - \hat{y}_i), \|\hat{W}_i\| = m_{W_i} \\ \text{and } (\tilde{\xi}_i^T - \tilde{\omega}_i^T \Lambda_i^T - \tilde{c}_i^T \Omega_i^T)\hat{W}_i(y_i - \hat{y}_i) > 0, \end{cases} \quad (۴۳)$$

$$\hat{\omega}_i = \begin{cases} \gamma_{ii}(\hat{W}_i^T \Lambda_i)^T(y_i - \hat{y}_i), \|\hat{\omega}_i\| < m_{\omega_i} \text{ or } (\|\hat{\omega}_i\| = m_{\omega_i} \\ \text{and } (\hat{W}_i^T \Lambda_i)\hat{\omega}_i(y_i - \hat{y}_i) \leq 0) \\ \Pr(\gamma_{ii}(\hat{W}_i^T \Lambda_i)^T(y_i - \hat{y}_i), \|\hat{\omega}_i\| = m_{\omega_i} \\ \text{and } (\hat{W}_i^T \Lambda_i)\hat{\omega}_i(y_i - \hat{y}_i) > 0, \end{cases} \quad (۴۴)$$

$$\hat{c}_i = \begin{cases} \gamma_{ii}(\hat{W}_i^T \Omega_i)^T(y_i - \hat{y}_i), \|\hat{c}_i\| < m_{c_i} \text{ or } (\|\hat{c}_i\| = m_{c_i} \\ \text{and } (\hat{W}_i^T \Omega_i)\hat{c}_i(y_i - \hat{y}_i) \leq 0) \\ \Pr(\gamma_{ii}(\hat{W}_i^T \Omega_i)^T(y_i - \hat{y}_i), \|\hat{c}_i\| = m_{c_i} \\ \text{and } (\hat{W}_i^T \Omega_i)\hat{c}_i(y_i - \hat{y}_i) > 0, \end{cases} \quad (۴۵)$$

$$\hat{R}_i = \begin{cases} \gamma_{ii}|y_i - \hat{y}_i|, |\hat{R}_i| < m_{R_i} \text{ or } (\hat{R}_i = m_{R_i} \text{ and } \hat{R}_i \leq 0) \\ \Pr(\gamma_{ii}|y_i - \hat{y}_i|, |\hat{R}_i| = m_{R_i} \text{ and } \hat{R}_i > 0), \end{cases} \quad (۴۶)$$

که $\gamma_{ji}, j = 1, \dots, 4$ اعداد ثابت مثبت بوده و اپرатор $\Pr(\cdot)$ به صورت زیر تعریف می‌شود:

$$\lambda = \Pr(\Gamma \Theta \varpi) = \Gamma \Theta \varpi - \Gamma \frac{\lambda \lambda^T}{\lambda^T \Gamma \lambda} \Gamma \Theta \varpi \quad (۴۷)$$

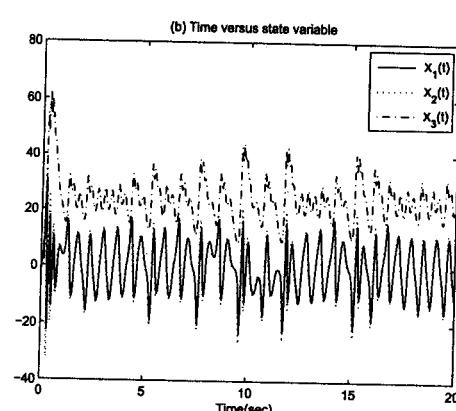
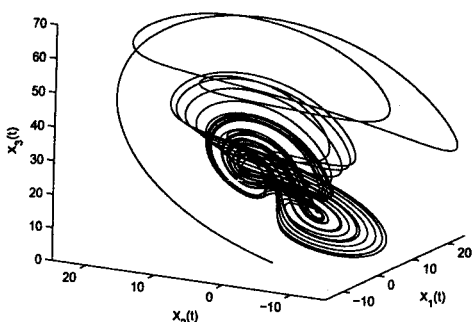
پارامترهای $100 = \gamma_{1i} = \gamma_{2i} = \gamma_{3i} = 100$ و $300 = \gamma_{4i} = i$ و

$M = 5$ تعداد قوانین فازی برای هر مولفه $f(x)$ انتخاب می‌شوند.

شرط اولیه سیستم $x(0) = [0.5, 0.5, -1]^T$ و رویت گر معکوس پراکندگی توابع تعلق ورودی به صورت $c_i(0) = [-1.2, -1, -0.8, \dots, 1.4]_{15 \times 1}$ با $i = 1, 2$ و $c_i(0) = [c_1(0), c_2(0)]^T$

و $\omega_i(0) = [0.1, \dots, 0.1]_{15 \times 1}$ با $i = 1, 2$ و $\omega_i(0) = [\omega_1(0), \omega_2(0)]^T$ انتخاب می‌شوند. همچنین شرایط اولیه وزن‌های شبکه تابع پایه ای فازی به صورت تصادفی در بازه $[0, 1]$ اختیار می‌گردند و $2 = i = 1, 2$ در نظر گرفته می‌شود.

(a) Chaotic attractors generated by the Chen system



شکل ۲: جاذب‌های آشوبی برای سیستم چن (a) در فضای فاز $X_1 - X_2 - X_3$ (b) حالت‌ها بر حسب زمان

بدون از دست دادن عمومیت فرض می‌کنیم $d_1(t, x) = 5 + 2e^{-t} \cos 2t$ که در لحظه $t = 10$ ثانیه و $d_2(t, x) = 20 + 3e^{-2t} \sin t$ در لحظه $t = 15$ ثانیه اعمال می‌گردند. باید به این نکته توجه کرد که هم اغتشاش و هم زمانی که به وقوع می‌پیوندد نامعلوم است. کنترل کننده پیشنهادی مورد استفاده قرار گرفته می‌شود. شکل ۳ حالت‌های سیستم در برابر حالت‌های سیستم مطلوب

باید توجه داشت که انتخاب U_z به اندازه ناکافی بزرگ باعث افزایش تعداد قوانین فازی می‌گردد و آن نیز پیچیدگی پیاده سازی را باعث می‌گردد. اما در کنترل کننده پیشنهادی به دلیل تطبیق کامل، تعداد قوانین فازی به مجموعه فشرده U_z وابسته نیست، بنابراین می‌توان بک مجموعه U_z بسیار بزرگ را برای تضمین پایداری نیمه-غراگیر استفاده نمود.

ملاحظه ۲. در جهت حذف چتربنگ کنترل نایپوسته $\text{sat}(y_i - \hat{y}_i / r)$ sgn($y_i - \hat{y}_i / r$) $y_i - \hat{y}_i / (\|y_i - \hat{y}_i\| + r)$, $\tan^{-1}(y_i - \hat{y}_i / r)$, $\tanh(y_i - \hat{y}_i / r)$ و $(y_i - \hat{y}_i / (\|y_i - \hat{y}_i\| + r)) e^{-q_i}$ با r و q ثابت مثبت جایگزین نمود. چهار تابع اول چتربنگ را به بهای داشتن خطای حالت دائمی کاملاً حذف می‌کنند که متناسب با r می‌باشد. اما از آنجایی که تابع نهایی یک لایه مرزی کاهشی re^{-q_i} را شامل می‌گردد نواندی آن در حذف چتربنگ و تضمین پایداری مجانبی اثبات گردیده است [۱۸].

۵- مثال شبیه سازی

در اینجا کنترل کننده پیشنهادی به سیستم آشوبی چن (Chen) به عنوان یک سیستم غیرخطی و غیرخطی *MIMO* اعمال می‌گردد. سیستم آشوبی چن یک سیستم غیرخطی و غیرخطی به فرم زیر می‌باشد:

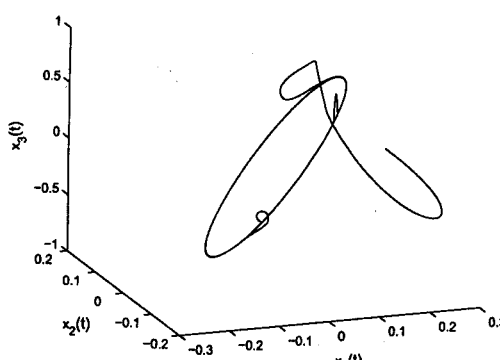
$$A = \begin{bmatrix} -35 & 35 & 0 \\ -7 & 28 & 0 \\ 0 & 0 & -3 \end{bmatrix}, B = \begin{bmatrix} 0 & 0 \\ 1 & 0 \\ 0 & 1 \end{bmatrix}, f(x) = \begin{bmatrix} -x_1 x_3 \\ x_1 x_2 \\ x_2 \end{bmatrix}, \\ C = \begin{bmatrix} 0 & 1 & 0 \\ 0 & 0 & 1 \end{bmatrix}, \Delta A(t) = \begin{bmatrix} 0 & 0 & 0 \\ 0.8 \sin 2t & 1 + 0.3 \sin 2t & 0 \\ -1 + 0.5 \cos t & 0 & 0.4 \end{bmatrix} \quad (F1)$$

که در آن $u(t) = [u_1(t), u_2(t)]^T$ سیگنال کنترلی بوده و $d(t) = [d_1(t), d_2(t)]^T$ اغتشاش کراندار که کران آن نیز نامعلوم می‌باشد. مسیر سیستم آشوبی چن با شرایط اولیه $u(t) = d(t) = 0$ و $x(0) = [0.5, 0.5, -1]^T$ در شکل ۲ نشان داده شده است.

پارامترهای G, P_1, P_2, R, K, L و L به صورت زیر انتخاب می-

شوند:

$$K = \begin{bmatrix} -5.6656 & 47.7588 & 0 \\ 0 & 0 & 0.4641 \end{bmatrix}, G = \begin{bmatrix} 1.3344 & 16.7588 & 0 \\ 0 & 0 & 0.4641 \end{bmatrix}, R = \text{diag}[1, 1], \\ P_1 = I_{3 \times 3}, P_2 = \begin{bmatrix} 0.0145 & 0.0085 & 0 \\ 0.0085 & 0.0412 & 0 \\ 0 & 0 & 0.1632 \end{bmatrix}, L = \begin{bmatrix} 28.3599 & 47.6967 & 0 \\ 0 & 0 & 0.1632 \end{bmatrix}^T \quad (F1)$$



شکل ۶: حالت های سیستم در فضای فاز

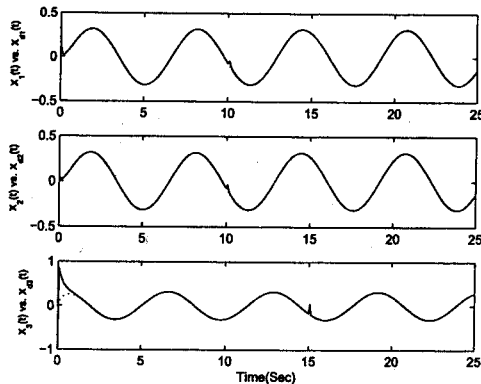
۶- نتیجه گیری

در این مقاله با ترکیب سیستم های فازی به عنوان تقریب گرهای عمومی و روش های کنترل تطبیقی یک کنترل کننده مقاوم برای سیستم های غیرخطی و غیرقطعی با تغییرات پارامتری و اغتشاش های خارجی نامعلوم و ناگهانی ارائه گردید. معمولاً فقط پارامترهای تالی قوانین فازی تطبیقی می شوند در حالی که در این مقاله هم پارامترهای مقدم و هم تالی قوانین فازی تطبیق شده که یک کنترل کننده کاملاً سیستماتیک را ارائه داده و قوانین فازی مورد نیاز را کاهش می دهد. برای افزایش قوام از یک کنترل کننده ناپیوسته با بهره تطبیقی استفاده گردید که به دلیل تطبیقی بودن، پدیده چترینگ را به صورت مؤثر کاهش می دهد. روش پیشه‌های نیازی به کران اغتشاش نداشته و وجود یک کران برای اثبات پایداری کفایت می کند. تمامی قوانین تطبیقی از روش طراحی لیابانوف استخراج شدند، بنابراین پایداری مجذبی حلقه بسته تضمین گردید.

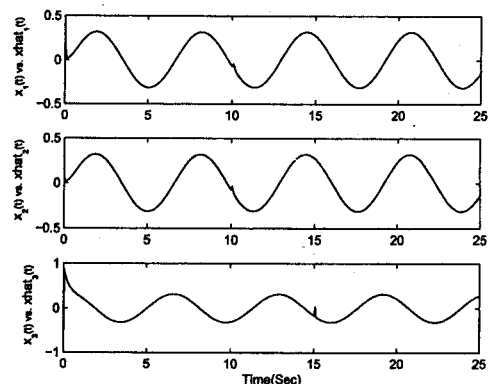
مراجع

- [1] J. J. Slotine and W. Li. *Applied nonlinear control*. Prentice-Hall, Inc., 1991.
- [2] H. K. Khalil, *Nonlinear Systems*. Prentice-Hall Inc., second edition, 1996.
- [3] L. X. Wang "Stable adaptive fuzzy controllers with application to inverted pendulum tracking," *IEEE Trans. Systems, Man, and Cybernetics*, vol. 26, No. 5, 1996.
- [4] R. Shahnazi and M. R. Akbarzadeh T., "PI adaptive fuzzy control with large and fast disturbance rejection for a class of uncertain nonlinear systems," *IEEE Trans. Fuzzy Systems*, vol. 16, no. 1, February 2008.
- [5] M. R. Akbarzadeh T. and R. Shahnazi, "Direct adaptive fuzzy PI sliding mode control of systems with unknown but bounded disturbances," *Iranian Journal of Fuzzy Systems*, vol. 3, no. 2, pp. 33-51, 2006.

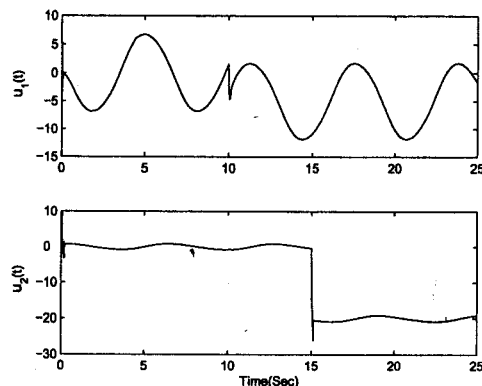
را نشان می دهد. حالت های تخمینی در برابر حالت های سیستم واقعی در شکل ۴ نشان داده شده اند. شکل ۵ سیگنال کنترلی و در نهایت شکل ۶ حالت های سیستم در فضای فاز را نمایش می دهدند. نتایج شیوه سازی نشان می دهند که ردیابی مطلوب با عملکرد موثر در مقابله با عدم قطعیت در مدل و حالت ها و اغتشاش های خارجی ناگهانی و بزرگ بدست آمده است.



شکل ۷: حالت های سیستم (-) در برابر حالت های سیستم مطلوب (--)



شکل ۸: حالت های سیستم (-) در برابر حالت های تخمینی (-)



شکل ۹: سیگنال های کنترلی

- systems," *Fuzzy Sets and Systems*, vol. 156, pp. 285-299, July 2005.
- [13] C. Hua, X. Guan, X. Li, and P. Shi, "Adaptive observer-based control for a class of chaotic systems," *Chaos, Solitons and Fractals*, vol. 22, Issue: 1, October 2004.
- [14] R. Shahnazi and H. Khaloozadeh, "Output feedback control with disturbance rejection of a class of nonlinear MIMO systems," *Automatic Control and Computer Sciences*, vol. 52, no. 3, pp. 138-144, 2008.
- [15] L. X. Wang, "Fuzzy system are universal approximates," in *Proc. IEEE Int. Conf. Fuzzy System*, San Diego, pp. 1163-1170, 1992.
- [16] L. X. Wang, *Adaptive fuzzy systems and control: design and stability analysis*. Prentice Hall, Englewood Cliffs, NJ., 1994.
- [17] L. X. Wang and J. M. Mendel, "Fuzzy basis functions, universal approximation, and orthogonal least-squares learning," *IEEE Trans. Neural Network*, vol. 3, no. 5, pp. 807-814, Sep. 1992.
- [18] M. S. Chen, Y. R. Hwang, and M. Tomizuka "A state-dependent boundary layer design for sliding mode control," *IEEE Trans. Automatic Control*, vol. 47, no. 10, pp. 1677-1681, 2002.
- [6] K. C. Chiou and S. J. Huang, "An adaptive fuzzy controller for robot manipulators," *Mechatronics*, vol. 15, no. 2, pp. 151-177, 2005.
- [7] R. J. Wai, C. M. Lin, and C. F. Hsu, "Adaptive fuzzy sliding-mode control for electrical servo drive," *Fuzzy Sets and Systems*, vol. 143, pp. 295-310, 2004.
- [8] H. Han, C. Y. Su, and Y. Stepanenko, "Adaptive control of a class of nonlinear systems with nonlinearly parameterized fuzzy approximators," *IEEE Trans. Fuzzy Systems*, vol. 9, no. 2, April 2001.
- [9] C. M. Lin and C. F. Hsu, "Adaptive fuzzy sliding mode control for induction servomotor systems," *IEEE Trans. Energy Conversion*, no. 2, vol. 19, June 2004.
- [10] R. Shahnazi, H. Shanechi, and N. Pariz, "Position control of induction and DC servomotors: A novel adaptive fuzzy PI sliding mode control," *IEEE Trans. Energy Conversion*, vol. 21, no. 1, March 2008.
- [11] H. X. Li and S. Tong, "A hybrid adaptive fuzzy control for a class of nonlinear MIMO systems," *IEEE Trans. Fuzzy Systems*, vol. 11, no. 1, February 2003.
- [12] S. Tong, B. Chen, and Y. Wang, "Fuzzy adaptive output feedback control for MIMO nonlinear

ضمایم

ضمیمه‌الف. اثبات لم ۱

بر اساس (۳۳)-(۳۶) به راحتی می‌توان طبق بخشی که در [۱۴] انجام شد، مجموعه $\hat{\mathcal{R}}_i$ را ثابت کرد. همچنین با استفاده از نامساوی مثلث داریم $\|\tilde{c}_i\| \leq 2m_{\hat{\mathcal{R}}_i}$ ، $\|\tilde{\omega}_i\| \leq 2m_{\hat{\mathcal{R}}_i}$ ، $\|\tilde{W}_i\| \leq 2m_{\hat{\mathcal{R}}_i}$ ، زیرا بر اساس فرض ۴، $\|\hat{\mathcal{R}}_i\| \leq m_{\hat{\mathcal{R}}_i}$ و $\|\hat{c}_i\| \leq m_{\hat{\mathcal{R}}_i}$. در اینجا اثبات تکمیل می‌شود.

$$\|\hat{\mathcal{R}}_i^*\| \leq m_{\hat{\mathcal{R}}_i}, \|\hat{c}_i^*\| \leq m_{\hat{\mathcal{R}}_i}, \|\hat{W}_i^*\| \leq m_{\hat{\mathcal{R}}_i}, \|\hat{\omega}_i^*\| \leq m_{\hat{\mathcal{R}}_i}$$

ضمیمه‌ب. اثبات قضیه ۲

تابع نیز را به عنوان کاندید تابع لیپاونوف در نظر می‌گیریم:

(ب-۱)

$$V = \frac{1}{2}\tilde{e}^T P_1 \tilde{e} + \frac{1}{2}\hat{e}^T P_2 \hat{e} + \sum_{i=1}^m \left\{ \frac{1}{2\gamma_{1i}} \tilde{W}_i^T \tilde{W}_i + \frac{1}{2\gamma_{2i}} \tilde{\omega}_i^T \tilde{\omega}_i + \frac{1}{2\gamma_{3i}} \tilde{c}_i^T \tilde{c}_i + \frac{1}{2\gamma_{4i}} \tilde{\mathcal{R}}_i^2 \right\}$$

با استفاده از مفروضات ۱ و ۲، مشتق (ب-۱) را در راستای سیستم (۲۷) و (۳۲) می‌توان به صورت زیر نوشت:

$$\begin{aligned} \dot{V} &= \frac{1}{2}\tilde{e}^T P_1 \tilde{e} + \frac{1}{2}\hat{e}^T P_2 \hat{e} + \frac{1}{2}\tilde{e}^T P_2 \hat{e} + \frac{1}{2}\hat{e}^T P_2 \hat{e} - \sum_{i=1}^m \left\{ \frac{1}{\gamma_{1i}} \tilde{W}_i^T \dot{\tilde{W}}_i + \frac{1}{\gamma_{2i}} \tilde{\omega}_i^T \dot{\tilde{\omega}}_i + \frac{1}{\gamma_{3i}} \tilde{c}_i^T \dot{\tilde{c}}_i + \frac{1}{\gamma_{4i}} \dot{\tilde{\mathcal{R}}}_i^2 \right\} \\ &= \frac{1}{2}\tilde{e}^T [(A - LC)^T P_1 + P_1(A - LC)]\tilde{e} + \frac{1}{2}\hat{e}^T [(A - BK)^T P_2 + P_2(A - BK)]\hat{e} + \tilde{e}^T P_1 B (\Phi(\hat{x}, \hat{\omega}, \hat{c}) - \Theta_1) \tilde{W} \\ &\quad + \tilde{e}^T P_1 B \Theta_2 \tilde{\omega} + \tilde{e}^T P_1 B \Theta_3 \tilde{c} - \tilde{e}^T P_1 B u_c - \tilde{e}^T P_1 B u_a + \tilde{e}^T P_1 B (\varepsilon + \bar{d}(t, x)) + \tilde{e}^T P_2 L C \tilde{e} \\ &\quad - \sum_{i=1}^m \left\{ \frac{1}{\gamma_{1i}} \tilde{W}_i^T \dot{\tilde{W}}_i + \frac{1}{\gamma_{2i}} \tilde{\omega}_i^T \dot{\tilde{\omega}}_i + \frac{1}{\gamma_{3i}} \tilde{c}_i^T \dot{\tilde{c}}_i + \frac{1}{\gamma_{4i}} \dot{\tilde{\mathcal{R}}}_i^2 \right\} \end{aligned}$$

$$= -\frac{1}{2}\tilde{e}^T Q_1 \tilde{e} - \frac{1}{2}\tilde{e}^T Q_2 \hat{e} + \tilde{W}^T (\Phi(\hat{x}, \hat{\omega}, \hat{c}) - \Theta_1)^T B^T P_1 \tilde{e} + \tilde{\omega}^T \Theta_2^T B^T P_1 \tilde{e} + \tilde{c}^T \Theta_3^T B^T P_1 \tilde{e} - \tilde{e}^T P_1 B u_a \\ - \tilde{e}^T P_1 B u_c + \tilde{e}^T P_1 B (\varepsilon + \bar{d}(t, x)) + \tilde{e}^T P_2 L C \tilde{e} - \sum_{i=1}^m \left[\frac{1}{\gamma_{1i}} \tilde{W}_i^T \dot{\tilde{W}}_i + \frac{1}{\gamma_{2i}} \tilde{\omega}_i^T \dot{\tilde{\omega}}_i + \frac{1}{\gamma_{3i}} \tilde{c}_i^T \dot{\tilde{c}}_i + \frac{1}{\gamma_{4i}} \tilde{\mathfrak{R}}_i \dot{\tilde{\mathfrak{R}}}_i \right] \\ \text{با توجه به تساوی } y - \hat{y} = C \tilde{e} = B^T P_1 \tilde{e} \text{ و استفاده از (۲۵) و } u_a \text{ در (۱) داریم:}$$

$$\dot{V} = -\frac{1}{2}\tilde{e}^T Q_1 \tilde{e} - \frac{1}{2}\tilde{e}^T Q_2 \hat{e} + \sum_{i=1}^m \tilde{W}_i^T \left[(\hat{\xi}_i^T - \hat{\omega}_i^T \Lambda_i^T - \hat{c}_i^T \Omega_i^T)^T (y_i - \hat{y}_i) - \frac{1}{\gamma_{1i}} \dot{\tilde{W}}_i \right] \\ + \sum_{i=1}^m \tilde{\omega}_i^T \left[(\hat{W}_i^T \Lambda_i)^T (y_i - \hat{y}_i) - \frac{1}{\gamma_{2i}} \dot{\tilde{\omega}}_i \right] + \sum_{i=1}^m \tilde{c}_i^T \left[(\hat{W}_i^T \Omega_i)^T (y_i - \hat{y}_i) - \frac{1}{\gamma_{3i}} \dot{\tilde{c}}_i \right] \\ - \tilde{e}^T P_1 B u_c + \tilde{e}^T P_1 B (\varepsilon + \bar{d}(t, x)) - \sum_{i=1}^m \frac{1}{\gamma_{4i}} \tilde{\mathfrak{R}}_i \dot{\tilde{\mathfrak{R}}}_i.$$

$$\text{با توجه به تساوی } \tilde{e}^T P_1 B u_c = \sum_{i=1}^m (y_i - \hat{y}_i) u_{ci} = \sum_{i=1}^m (y_i - \hat{y}_i) \operatorname{sgn}(y_i - \hat{y}_i) \tilde{\mathfrak{R}}_i = \sum_{i=1}^m |y_i - \hat{y}_i| \tilde{\mathfrak{R}}_i \text{ با توجه به (۳۹) داریم:} \\ \text{در نتیجه: } \leq \sum_{i=1}^m |y_i - \hat{y}_i| |\varepsilon_i + \bar{d}_i(t, x)| \leq \sum_{i=1}^m |y_i - \hat{y}_i| \tilde{\mathfrak{R}}_i = \sum_{i=1}^m (y_i - \hat{y}_i) (\varepsilon_i + \bar{d}_i(t, x)) \tilde{e}^T P_1 B (\varepsilon + \bar{d}(t, x)) \\ \text{می باشد، بنابراین: } \tilde{\mathfrak{R}}_i = b_{ci} + \bar{D}$$

$$\dot{V} \leq -\frac{1}{2}\tilde{e}^T Q_1 \tilde{e} - \frac{1}{2}\tilde{e}^T Q_2 \hat{e} + \sum_{i=1}^m \tilde{W}_i^T \left[(\hat{\xi}_i^T - \hat{\omega}_i^T \Lambda_i^T - \hat{c}_i^T \Omega_i^T)^T (y_i - \hat{y}_i) - \frac{1}{\gamma_{1i}} \dot{\tilde{W}}_i \right] \\ + \sum_{i=1}^m \tilde{\omega}_i^T \left[(\hat{W}_i^T \Lambda_i)^T (y_i - \hat{y}_i) - \frac{1}{\gamma_{2i}} \dot{\tilde{\omega}}_i \right] + \sum_{i=1}^m \tilde{c}_i^T \left[(\hat{W}_i^T \Omega_i)^T (y_i - \hat{y}_i) - \frac{1}{\gamma_{3i}} \dot{\tilde{c}}_i \right] \\ - \sum_{i=1}^m |y_i - \hat{y}_i| \tilde{\mathfrak{R}}_i + \sum_{i=1}^m |y_i - \hat{y}_i| \tilde{\mathfrak{R}}_i - \sum_{i=1}^m \frac{1}{\gamma_{4i}} \tilde{\mathfrak{R}}_i \dot{\tilde{\mathfrak{R}}}_i \\ = -\frac{1}{2}\tilde{e}^T Q_1 \tilde{e} - \frac{1}{2}\tilde{e}^T Q_2 \hat{e} + \sum_{i=1}^m \tilde{W}_i^T \left[(\hat{\xi}_i^T - \hat{\omega}_i^T \Lambda_i^T - \hat{c}_i^T \Omega_i^T)^T (y_i - \hat{y}_i) - \frac{1}{\gamma_{1i}} \dot{\tilde{W}}_i \right] \\ + \sum_{i=1}^m \tilde{\omega}_i^T \left[(\hat{W}_i^T \Lambda_i)^T (y_i - \hat{y}_i) - \frac{1}{\gamma_{2i}} \dot{\tilde{\omega}}_i \right] + \sum_{i=1}^m \tilde{c}_i^T \left[(\hat{W}_i^T \Omega_i)^T (y_i - \hat{y}_i) - \frac{1}{\gamma_{3i}} \dot{\tilde{c}}_i \right] \\ + \sum_{i=1}^m \tilde{\mathfrak{R}}_i (|y_i - \hat{y}_i| - \frac{1}{\gamma_{4i}} \dot{\tilde{\mathfrak{R}}}_i). \quad (۲-ب)$$

نگاه از اولین سطر قانون تطبیق (۳۳) داریم: $\|\hat{W}_i\| = m_{w_i}$ و $(\hat{\xi}_i^T - \hat{\omega}_i^T \Lambda_i^T - \hat{c}_i^T \Omega_i^T) \hat{W}_i (y_i - \hat{y}_i) \leq 0$ با $\|\hat{W}_i\| < m_{w_i}$ نگاه:

$$\sum_{i=1}^m \tilde{W}_i^T \left[(\hat{\xi}_i^T - \hat{\omega}_i^T \Lambda_i^T - \hat{c}_i^T \Omega_i^T)^T (y_i - \hat{y}_i) - \frac{1}{\gamma_{1i}} \dot{\tilde{W}}_i \right] = 0 \text{ بنابراین } \dot{\tilde{W}}_i = \gamma_{1i} (\hat{\xi}_i^T - \hat{\omega}_i^T \Lambda_i^T - \hat{c}_i^T \Omega_i^T)^T (y_i - \hat{y}_i)$$

حال اگر آنگاه از دومین سطر قانون تطبیق (۳۳) داریم: $(\hat{\xi}_i^T - \hat{\omega}_i^T \Lambda_i^T - \hat{c}_i^T \Omega_i^T) \hat{W}_i (y_i - \hat{y}_i) > 0$ و $\|\hat{W}_i\| = m_{w_i}$

$$\gamma_{1i} (\hat{\xi}_i^T - \hat{\omega}_i^T \Lambda_i^T - \hat{c}_i^T \Omega_i^T)^T (y_i - \hat{y}_i) - \gamma_{1i} \frac{\hat{W}_i \hat{W}_i^T}{\|\hat{W}_i\|^2} (\hat{\xi}_i^T - \hat{\omega}_i^T \Lambda_i^T - \hat{c}_i^T \Omega_i^T)^T (y_i - \hat{y}_i) \dot{\tilde{W}}_i = \Pr(\gamma_{1i} (\hat{\xi}_i^T - \hat{\omega}_i^T \Lambda_i^T - \hat{c}_i^T \Omega_i^T)^T (y_i - \hat{y}_i)) =$$

بنابراین:

$$\hat{W}_i^T \left\{ (\hat{\xi}_i^T - \hat{\omega}_i^T \Lambda_i^T - \hat{c}_i^T \Omega_i^T)^T (y_i - \hat{y}_i) - \frac{\dot{\tilde{W}}_i}{\gamma_{1i}} \right\} = \hat{W}_i^T \frac{\hat{W}_i \hat{W}_i^T}{\|\hat{W}_i\|^2} (\hat{\xi}_i^T - \hat{\omega}_i^T \Lambda_i^T - \hat{c}_i^T \Omega_i^T)^T (y_i - \hat{y}_i) \\ = \frac{\hat{W}_i^T \hat{W}_i}{\|\hat{W}_i\|^2} \hat{W}_i^T (\hat{\xi}_i^T - \hat{\omega}_i^T \Lambda_i^T - \hat{c}_i^T \Omega_i^T)^T (y_i - \hat{y}_i) \quad (۳-ب)$$

$$\hat{W}_i^T \left\{ (\hat{\xi}_i^T - \hat{\omega}_i^T \Lambda_i^T - \hat{c}_i^T \Omega_i^T)^T (y_i - \hat{y}_i) - \frac{\|\hat{W}_i\|}{m_{w_i}} \right\} \leq 0 \text{ نیز } \hat{W}_i^T \hat{W}_i \leq 0 \text{ و } (\|\hat{W}_i\| = m_{w_i})$$

از آنجایی که $(\hat{\xi}_i^T - \hat{\omega}_i^T \Lambda_i^T - \hat{c}_i^T \Omega_i^T) \hat{W}_i (y_i - \hat{y}_i) > 0$ داریم:

$\int_0^t \Theta(\tau) d\tau \leq V(\tilde{W}_i(0), \tilde{\omega}_i(0), \tilde{c}_i(0), \tilde{R}_i(0)) - V(\tilde{W}_i(t), \tilde{\omega}_i(t), \tilde{c}_i(t), \tilde{R}_i(t))$

از آنجایی $V(\tilde{W}(0), \tilde{\omega}(0), \tilde{c}(0), \tilde{R}(0))$ کراندار می باشد و $V(\tilde{W}(t), \tilde{\omega}(t), \tilde{c}(t), \tilde{R}(t))$ نیز غیرافزایشی و کراندار است می توان نتیجه گرفت:

$$\lim_{t \rightarrow \infty} \int_0^t \Theta(\tau) d\tau < \infty.$$

همچنین از (۲۷) و (۳۲) می توان نتیجه گرفت که $\dot{\Theta}(t)$ کراندار می باشد بنابراین با استفاده از لم باربالات، به راحتی می توان نشان داد که $\lim_{t \rightarrow \infty} \Theta(t) = 0$. بنابراین داریم $\lim_{t \rightarrow \infty} E(t) = 0$. پس $\lim_{t \rightarrow \infty} \tilde{e} = \hat{e} + \tilde{e}$ از طرف دیگر، $e = \hat{e}$ ، پس $\lim_{t \rightarrow \infty} e = 0$.

به صورت مشابه می توان مراحل فوق را برای قوانین تعیینی دیگر انجام داد، پس از آن (ب-۲) را می توان به صورت زیر بازنویسی کرد:

$$\dot{V} \leq -\frac{1}{2} \tilde{e}^T Q_1 \tilde{e} - \frac{1}{2} \hat{e}^T Q_2 \hat{e}$$

با در نظر گرفتن $[\tilde{e}^T, \hat{e}^T]$ و $Q = \text{diag}[Q_1, Q_2]$ ، (ب-۵) را می توان به صورت زیر نوشت:

$$\dot{V} \leq -\frac{1}{2} E^T QE \leq 0$$

از آنجایی که Q_1 و Q_2 ماتریس های مثبت معین هستند آنگاه ماتریس $Q = \text{diag}[Q_1, Q_2]$ نیز مثبت معین است، پس \dot{V} یک ماتریس مثبت نیمه معین می باشد، به عبارت دیگر $V(\tilde{W}_i(t), \tilde{\omega}_i(t), \tilde{c}_i(t), \tilde{R}_i(t)) \leq V(\tilde{W}_i(0), \tilde{\omega}_i(0), \tilde{c}_i(0), \tilde{R}_i(0))$ با تعریف $\Theta(t) = \frac{1}{2} E^T QE \leq -\dot{V}$ و انتگرال گیری از آن

نسبت به زمان: